

В.Ю. Селів'орстов, Т.В. Селів'орстова

**ОСОБЛИВОСТІ ДИВЕРСИФІКАЦІЇ СПОСОБІВ
ВИЗНАЧЕННЯ ТЕРМОЧАСОВИХ ПАРАМЕТРІВ
ГЕРМЕТИЗАЦІЇ ВИЛИВКА В ЛИВАРНІЙ ФОРМІ ДЛЯ
ЗДІЙСНЕННЯ ГАЗОДИНАМІЧНОГО ВПЛИВУ**

Аннотація. Представлений опис експериментальних натурних та розрахункових схем для дослідження процесу самогерметизації металу в ливарній формі. Обґрунтована можливість використання інженерного методу розрахунку температурних полів виливка, що твердіє в об'ємній піщаній формі. Приведено вдосконалене аналітичне рішення Стефана-Шварца для розрахунку температурних полів.

Ключові слова: затвердіння, герметизація, розрахунок, температурне поле, розрахункова схема, комп'ютерне моделювання.

Вступ

Одним із шляхів підвищення якості литого металу є використання тиску в процесі кристалізації. Відомо, що найбільш ефективною є передача нарastaючого тиску в двофазну зону, особливо наприкінці періоду твердіння [1, 2]. Цим вимогам відповідає розроблена на кафедрі ливарного виробництва НМетАУ технологія газодинамічного впливу на розплав в ливарній формі, що реалізується при використанні газового тиску в діапазоні, переважно, 0,1 - 20 МПа без застосування складного спеціального устаткування, і може бути легко вбудована в діючий технологічний процес [3 - 7].

Попередні публікації та постановка задачі. Розроблена технологія може бути реалізована для всіх найбільш вживаних способів ліття, таких як: ліття в об'ємну піщану форму, ліття в кокіль, ліття по витоплюваним моделям та при виробництві злитків [3, 8 - 10]. Проте, при реалізації технологічного процесу необхідним та дуже важливим етапом є герметизація системи «виливок-пристрій для введення газу», встановлення термочасових параметрів якого є визначальним для розрахунку режиму здійснення газодинамічного впливу [8,

11]. Тому знаходження та обґрунтування різних шляхів визначення цих параметрів є актуальним завданням.

Метою роботи є аналіз результатів експериментальних та теоретичних досліджень за різними схемами процесу герметизації виливків різної маси та конфігурації із різних сплавів, що твердіють в кокілі, а також в об'ємній та оболонковій піщаних формах.

Результати дослідження. Для визначення часу, що необхідний для герметизації, використовували експериментальні термоелектричні дослідження, систему комп'ютерного моделювання ливарних процесів (СКМ ЛП) та інженерні методи розрахунку температурного поля виливка. Зокрема, в результаті проведених натурних експериментів [12, 13] встановили, що тривалість затвердіння в кокілі осьової зони циліндричних виливків масою 160 кг із сталі 35Л складає більше 11 хв., а із сталі Х12Ф1Л – більше 15 хв. (рис.1). На поверхні виливка формується шар затверділого металу вже через 3 – 4 хвилини (сталь 35Л) і 5 – 6 хвилин (сталь Х12Ф1Л), що дозволяє здійснити процес герметизації системи виливок-пристрій для введення газу з подальшим газодинамічним впливом.

Проведене порівняння результатів розрахунку процесу твердіння в об'ємній піщаній формі кулі та циліндра діаметром 200 мм, а також плити товщиною 200 мм з вуглецевої сталі та алюмінієвого евтектичного сплаву методом скінченіх елементів і інженерним методом Стефана-Шварца [14]. Значення максимального відносного відхилення розподілів температур (1), що отримані за результатами розрахунків різними методами (табл. 1), дають можливість обґрунтованого використання аналітичного рішення Стефана-Шварца для побудови температурного поля виливка.

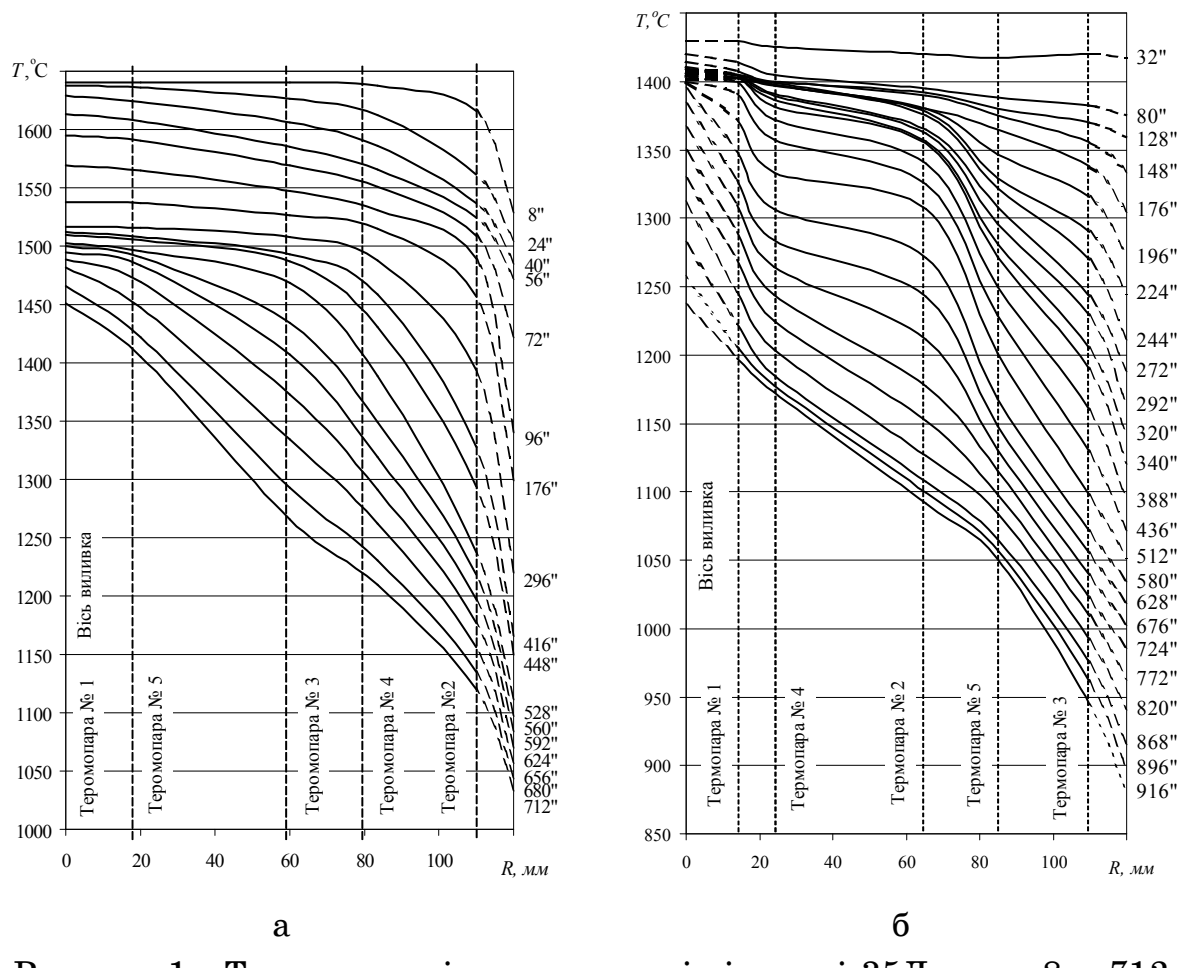


Рисунок 1 - Температурні поля виливків із сталі 35Л через 8 – 712 секунд (а) та із сталі Х12Ф1Л через 32 – 916 секунд (б) після закінчення заливки

$$\Delta = \max_{i=1, \dots, n} \left\{ \frac{|T_{i1} - T_{i2}|}{(T_{i1} + T_{i2})/2} 100\% \right\} \quad (1)$$

де T_{i1} – значення температури в i -тій точці, отримане із застосуванням інженерного розрахунку Стефана-Шварца за допомогою програмного модуля «SBHeat», T_{i2} – значення температури в i -тій точці, отримане із застосуванням СКМ ЛП «Полігон».

Таблиця 1

Порівняння результатів розрахунків твердіння виливків різної конфігурації інженерним методом і методом скінчених елементів

| Матеріал виливка | Максимальне відносне відхилення (%) | | | | | | | | Відхилення часу затвердіння, % | |
|---------------------|---|-----|-----|-----|------------------|------|------|------|--------------------------------|--|
| | ізохрон при затвердінні часток приведеної товщини виливка | | | | для виливка, х/X | | | | | |
| | 0,1 | 0,5 | 0,9 | 1 | 0,1 | 0,5 | 0,9 | 1 | | |
| Куля | | | | | | | | | | |
| Алюмінієвий сплав | 0,8 | 0,6 | 0,2 | 0,8 | 10,2 | 40,7 | 41,4 | 41,6 | 1,6 | |
| Вуглецева сталь | 0,2 | 0,9 | 1,5 | 1,9 | 13,8 | 45,8 | 45,9 | 46,3 | 0,5 | |
| Циліндр | | | | | | | | | | |
| Алюмінієвий сплав | 1,1 | 0,5 | 0,2 | 0,1 | 26,2 | 34,8 | 34,9 | 34,8 | 1,9 | |
| Вуглецева сталь | 0,2 | 0,7 | 0,7 | 0,9 | 5,5 | 41,2 | 40,9 | 41,6 | 2,6 | |
| Плита | | | | | | | | | | |
| Алюмінієвий сплав | 0,8 | 0,5 | 0,3 | 0,2 | 9,4 | 1,3 | 0,8 | 0,8 | 1,8 | |
| Вуглецева сталь | 1,9 | 0,3 | 0,2 | 0,2 | 17,1 | 2,9 | 0,9 | 0,7 | 1,4 | |

При літті в кокіль традиційна постановка задачі Стефана-Шварца не застосовна, оскільки шар фарби на поверхні форми може бути врахований тільки непрямим чином за рахунок коефіцієнту затвердіння і коефіцієнту акумуляції тепла формою, визначення яких при зміні товщини шару фарби можливе експериментальним шляхом, проте, на практиці, це представляє значні труднощі, що приводить до невіправданого ускладнення розрахунку і необхідності реалізації громіздких алгоритмів. Тому розроблена комбінована розрахункова схема, здійснювана таким чином [15]. У відповідності до методики А.Й. Вейника проводиться розрахунок часу твердіння виливка в пофарбованому кокілі (2, 6), що дозволяє визначити коефіцієнт затвердіння (10) з урахуванням товщини шару фарби (3). Потім за формуллою М.І. Хворінова розраховується коефіцієнт акумуляції тепла формою (11) та проводиться розрахунок температурних полів по методу Стефана-Шварца (12 – 15).

$$\tau_{nep} = \frac{V_1 \rho_L c_L (T_1 - T_L)}{\beta F_1 (T_1 - T'_{2cp})}, \quad (2)$$

$$\beta = \frac{\lambda_{kp}}{\chi_{kp}}, \quad (3)$$

$$T'_{2cp} = \frac{T'_{2n} + T'_{2\kappa}}{2}, \quad (4)$$

$$T'_{2\kappa} = \frac{V_2 \rho_F c_F T'_{2n} + V_1 \rho_L c_L (T_1 - T_L)}{V_2 \rho_F c_F}, \quad (5)$$

$$\tau_{замв} = \frac{V_1 \rho_L (c_{cp} \Delta T_{kp} + L)}{\beta F_1 (T_L - T''_{2cp})}, \quad (6)$$

$$T''_{2cp} = \frac{T'_{2\kappa} + T''_{2\kappa}}{2}, \quad (7)$$

$$T''_{2\kappa} = \frac{V_2 \rho_F T'_{2\kappa} + V_1 \rho_L c_{e\phi} (T_L - T_S)}{V_2 \rho_F c_F}, \quad (8)$$

$$c_{e\phi} = c_{cp} + \frac{L}{\Delta T_{kp}}, \quad (9)$$

де τ_{nep} – час відводу теплоти перегріву, c ; β – умовний коефіцієнт тепловідводу від виливка до форми крізь зазор, Bm/m^2K ; T'_{2cp} – середнє значення температури по перетину стінки кокілю за даний проміжок часу, K ; $T'_{2\kappa}$ – середнє значення температури по перетину стінки кокілю в кінці стадії відведення теплоти перегріву розплаву, K ; $\tau_{замв}$ – час затвердіння виливка, c ; T''_{2cp} – середнє значення температури по перетину стінки кокілю впродовж затвердіння виливка, K ; $T''_{2\kappa}$ – середнє значення температури по перетину стінки кокілю в кінці стадії затвердіння виливка, K ; $c_{e\phi}$ – ефективна теплоємність матеріалу виливка, $\text{Дж}/\text{кг} K$; L – теплота кристалізації сплаву, $\text{Дж}/\text{кг}$; ΔT_{kp} – температурний інтервал кристалізації, K ; V – об’єм, m^3 ; F – площа поверхні, m^2 ; ρ – щільність, $\text{кг}/m^3$. Індекси 1 та 2 означають, що величини відносяться відповідно до виливка або кокілю.

$$K = \frac{x}{\sqrt{\tau_{замв} + \tau_{nep}}}, \quad (10)$$

$$b_F = \frac{K \rho_L (L + c_L (T_1 - T_0))}{1,158 (T_0 - T_{F_0})}, \quad (11)$$

$$T_c = \frac{T_o}{1 + \frac{b_F}{b_S} \operatorname{erf}\left(\frac{K}{2\sqrt{a_S}}\right)} \quad (12)$$

$$T_L = (T_o + t) - t \frac{1 - \operatorname{erf}\left(\frac{y}{2\sqrt{a_L}\tau}\right)}{1 - \operatorname{erf}\left(\frac{K}{2\sqrt{a_L}}\right)} \quad (13)$$

$$T_s = T_c + (T_o - T_c) \frac{\operatorname{erf}\left(\frac{y}{2\sqrt{a_S}\tau}\right)}{\operatorname{erf}\left(\frac{K}{2\sqrt{a_S}}\right)} \quad (14)$$

$$T_F = T_c - (T_o - T_{F_0}) \operatorname{erf}\left(\frac{y}{2\sqrt{a_F}\tau}\right) \quad (15)$$

де K – коефіцієнт затвердіння, $m/c^{0,5}$; T_c – температура в точці зіткнення виливка і форми, K ; a – температуропровідність, m^2/c ; b_F – коефіцієнт акумуляції тепла формою, $Bm\ c^{0,5}/m^2\ K$. Індекси S та L означають, що величини відносяться відповідно до твердої або рідкої частини виливка, F – до форми.

Результати розрахунків часу затвердіння в кокілі фасонного виливка «Опорний наконечник стійки конвеєра» масою 1,1 кг із сплаву АК5М (рис. 2) методом скінчених елементів (МСЕ) і методом Стефана-Шварца, показали необхідність врахування шару ливарної фарби та ефективність розробленої комбінованої схеми (табл. 2) [15].

Таблиця 2

Розрахунковий час затвердіння виливка

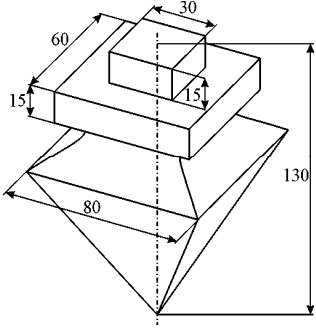


Рисунок 2 - Схема виливка «Опорний наклонечник стійки конвеєра»

| Частка приведеної товщини, x/X | Час затвердіння, с | | МСЕ | |
|---|-------------------------------------|-----------------------------|-----|--|
| | по Стефану-Шварцу | | | |
| | без врахуван- ня шару фар- би | з врахуванням шару фарби | | |
| 0,1 | 0,3 | 6,1 | 7 | |
| 0,3 | 0,6 | 13,8 | 16 | |
| 0,5 | 1,8 | 38,3 | 40 | |
| 1,0 | 7,3 | 153,1 | 157 | |

Була здійснена оцінка придатності конструкції блоку ЛВМ для заготовок ріжучого інструменту циліндричної форми із сталі Р18Л за діючою технологією, а також розробка раціональної конструкції блоку для здійснення газодинамічного впливу [9]. Використовували МСЕ в програмній реалізації СКМ ЛП «Полігон». При реалізації традиційної технології до моменту формування затверділого шару на поверхні стояка виливки опиняються повністю затвердими (рис. 3, а).

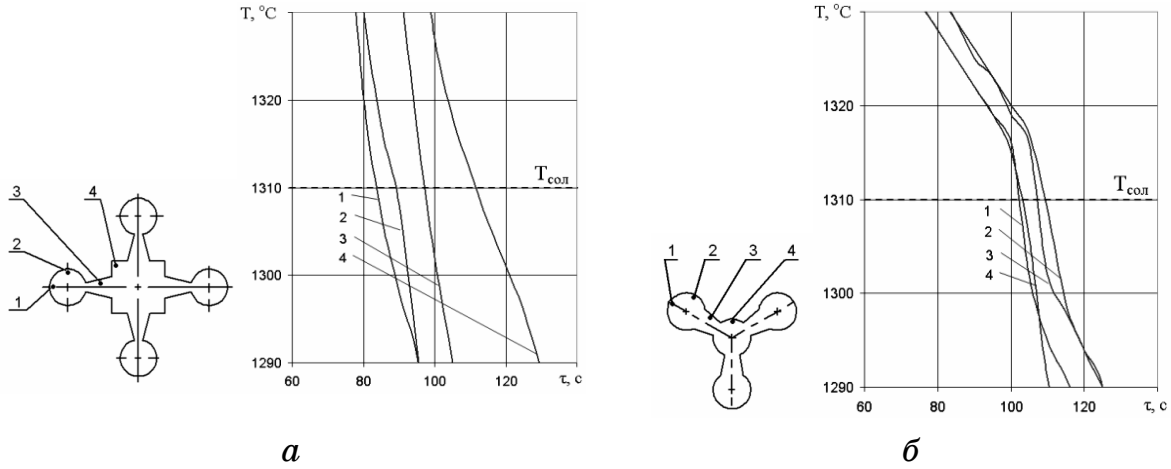


Рисунок 3 - Схема розміщення термопар в перетині блоку та криві охолодження у відповідних місцях: за діючою технологією (а) і зміненої конструкції (б)

При діючій конструкції блоку ЛВМ можна використовувати тільки міцність самої ливарної форми і реалізація технології можлива в діапазоні тиску, переважно, не більше 0,3 МПа. Зближення температурних кривих, одержаних у варіанті зміненої конструкції блоку, показує, що на різних ділянках поверхні блоку герметизуюча скоринка формується практично одночасно, що дозволяє реалізувати

газодинамічний вплив, заснований на відповідності товщини затверділого шару створюваному тиску в системі виливок-пристрій для введення газу.

Процес герметизації є найбільш ефективним в тому випадку, якщо на момент подачі газу в систему виливок-пристрій для введення газу на внутрішній поверхні холодильника, що закриває дзеркало металу, намерзає мінімальна його кількість. Разом з тим, час твердиння розплаву в зазорі між холодильником і бічною поверхнею робочої порожнини ливарної форми повинен бути мінімальним. Особливістю конструкції холодильників (що виготовляються, зазвичай, з того ж матеріалу, що і виливок) є наявність або відсутність вставки із теплоізоляційного матеріалу (рис. 4).

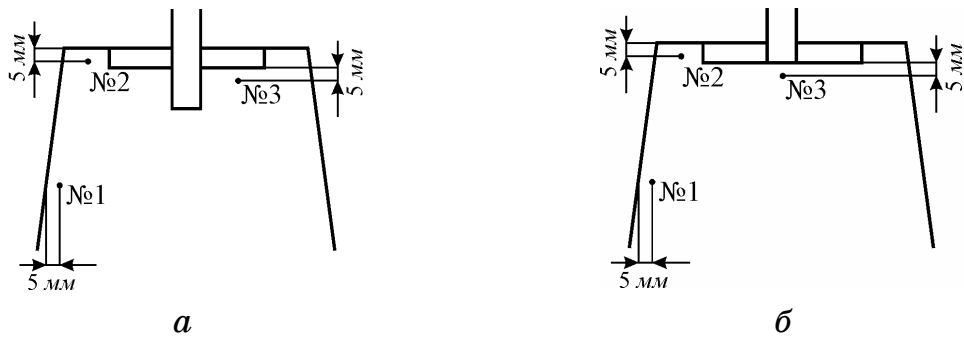


Рисунок 4 - Схема цільнometалевого холодильника (а),
корпусного холодильника з утеплювальною вставкою (б) та
роздашування термопар №№ 1 – 3

Результати розрахунків в СКМ ЛП «Полігон», проведених для виливків із сталей 35Л та Х18Ф1Л, що твердіють в умовах тієї ж ливарної форми, процес твердиння в якій досліджувався раніше термоелектричним методом, показали, що при використанні цільнometалевого холодильника спостерігається мінімальний розрив між кривими охолоджування на рівні температури солідус, що свідчить про несприятливе протікання процесу твердиння, на відміну від використання комбінованого холодильника більшого діаметру з утеплювачем (рис. 5). Встановлено збільшення часу твердиння розплаву безпосередньо під холодильником у разі використання в якості утеплювача формувальної суміші на основі золовідходів Придніпровської ТЕС з низьким коефіцієнтом тепlopровідності (0,35 Вт/мК). Це дозволяє не тільки знизити непродуктивні втрати металу із-за намерзання на поверхні холодильника, але і поліпшити режим живлення при твердинні виливка і здійсненні газодинамічного впливу.

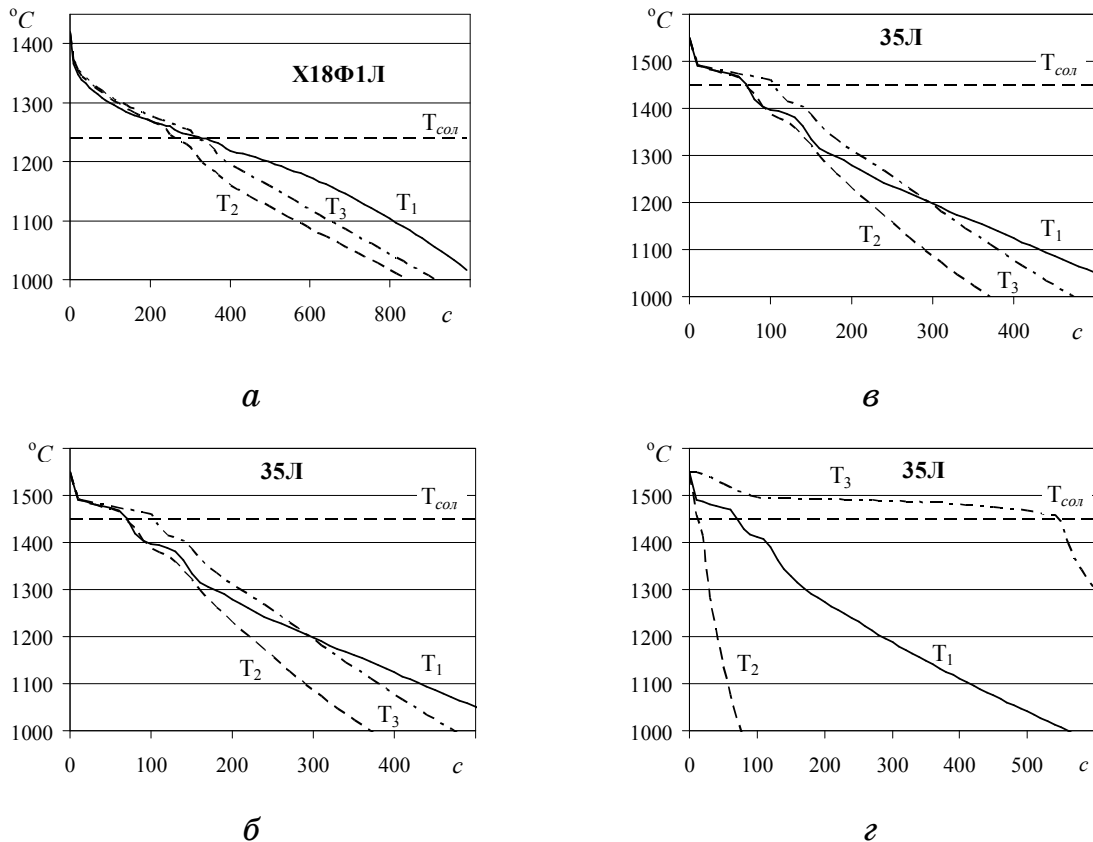


Рисунок 5 - Результати розрахунку процесу твердіння виливків з зовнішнім цільнометалевим (а, в) і комбінованим (б, г) холодильником з утеплювачем із формувальної суміші на основі золовідходів Придніпровської ТЕС в місцях розташування термопар №№ 1 – 3

Висновки

1. Необхідною передумовою здійснення газодинамічного впливу є можливість герметизації системи виливок-пристрій для введення газу при атмосферному тиску до початку реалізації основного процесу.

2. Визначити час формування герметизуючого шару металу можна за допомогою експериментальних термоелектричних досліджень, систем комп'ютерного моделювання ливарних процесів (СКМ ЛП) та інженерних методів розрахунку температурного поля виливка.

3. Встановлено максимальне відносне відхилення результатів розрахунку розподілу температури у виливках основних конфігураційних типів з вуглецевої сталі та алюмінієвого евтектичного сплаву, що твердіє в об'ємній піщаній формі, методом скінчених елементів і інженерним методом Стефана-Шварца, яке не перевищує 3 % часу повного затвердіння виливка. При необхідності диверсифікації спосо-

бів розрахунку термочасових параметрів герметизації виливка в об'ємній пішаній формі, це дає можливість обґрунтованого використання аналітичного рішення Стефана-Шварца для побудови температурних полів.

4. Розроблена комбінована схема розрахунку температурних полів виливка, що включає розрахунок часу твердіння виливка в пофарбованому неохолоджуваному кокілі згідно методиці А.Й. Вейника з визначенням коефіцієнту затвердіння, що враховує товщину та теплофізичні властивості шару фарби, а також розрахунок коефіцієнту акумуляції тепла формулою згідно формулі М.І. Хворінова та температурних полів по методу Стефана-Шварца. Застосування вдосконаленого аналітичного рішення дозволяє коректно врахувати товщину і теплофізичні властивості ливарної фарби на поверхні неохолоджуваного кокілю при розрахунку часу твердіння виливка.

ЛІТЕРАТУРА

1. Борисов Г.П. Давление в управлении литейными процессами /Г.П.Борисов. – Киев.: изд. Наук. Думка, 1988. – 272 с.
2. Ефимов В.А. Физические методы воздействия на процессы затвердевания сплавов /В.А. Ефимов, А.С. Эльдарханов. – М.: Металлургия. – 1995. – 272 с.
3. Селиверстов В.Ю. Технология газодинамического воздействия на расплав в литейной форме – один из перспективных способов повышения качества металла отливок // Сучасні проблеми металургії. Наукові праці. 2007. – Том 10. – С. 25 – 35.
4. Пат. 28858 Україна, МПК (2006) B22D 18/00. Спосіб отримання виливків / Селів'орстов В.Ю., Хричиков В.Є., Доценко Ю.В. – № 200708968; заявл.03.08.2007; опубл. 25.12.2007, Бюл.№21.
5. Пат. 28859 Україна, МПК (2006) B22D 18/00. Пристрій для отримання виливків / Селів'орстов В.Ю., Хричиков В.Є., Доценко Ю.В. – № 200708969; заявл.03.08.2007; опубл. 25.12.2007, Бюл.№21.
6. Спосіб отримання виливків [Текст]: Деклараційний патент, Україна МПК (2006) B22D 18/00 / Селів'орстов В.Ю., Хричиков В.Є., Доценко Ю.В. Заявник та патентовласник Національна металургійна академія України – № 200808859; заявл.07.07.2008; опубл. 10.12.2008, Бюл. №23.
7. Пристрій для отримання виливків [Текст]: Деклараційний патент, Україна МПК (2006) B22D 18/00 / Селів'орстов В.Ю., Хричиков В.Є., Доценко Ю.В. Заявник та патентовласник Національна металургійна академія України – № 200808858; заявл. 07.07.2008; опубл. 10.12.2008, Бюл. №23.
8. Селів'орстов В.Ю. Особливості розрахунку газодинамічного впливу на метал, що твердіє в кокілі [Текст]// Теорія і практика металургії. – 2009. - № 1-2. – С. 41 - 45.

9. Селів'орстов В.Ю. Використання технології газодинамічного впливу на розплав при літті по витоплюваним моделям [Текст]/В.Ю. Селів'орстов, П.Д. Кущ. //Вісник Національного технічного університету «ХПІ». Збірник наукових праць. Тематичний випуск: Нові рішення в сучасних технологіях. – Харків: НТУ «ХПІ» – 2010. – № 4 – С. 89 – 94.
10. Пат. 55301 Україна, МПК (2009) B22D 18/00. Спосіб для отримання виливків [Текст]/ Селів'орстов В.Ю., Хричиков В.Є., Доценко Ю.В., Кущ П.Д., Савега Д.О. № u201006702; заявл. 31.05.2010, опубл. 10.12.2010, Бюл. № 23.
11. Селів'орстов В.Ю. Автоматизоване визначення режиму газодинамічного впливу на розплав в ливарній формі /В.Ю. Селів'орстов, Т.В. Михайлівська //Системні технології: Регіональний міжвузівський збірник наукових праць. – Дніпропетровськ, 2010. – Вип. 4 (69). – С. 73 – 78.
12. Селиверстов В.Ю., Хрычиков В.Е., Доценко Ю.В. Экспериментальное термографическое исследование затвердевания отливки из стали 35Л в кокиле//Теория и практика металлургии. – 2006.-№6. - С.29-32.
13. Селиверстов В.Ю., Хрычиков В.Е., Доценко Ю.В. Температурное поле процесса затвердевания отливки из стали X12Ф1 в кокиле // Теория и практика металлургии. – 2007. - № 2-3. - С.83-86.
14. Селиверстов В.Ю. Инженерный расчет температурного поля отливки для процесса газодинамического воздействия на расплав в литейной форме // Металлургическая и горнорудная промышленность.–2008.-№6-С.31 – 34.
15. Селиверстов В.Ю. Особенности расчета температурного поля отливки из сплава АК5М, затвердевающей в окрашенном чугунном кокиле // Теория и практика металлургии. – 2008. - № 5-6. – С. 32 - 36.